__ ФИЗИЧЕСКАЯ ХИМИЯ НАНОКЛАСТЕРОВ ____ И НАНОМАТЕРИАЛОВ

УДК 539.199;544.723

КОНФОРМАЦИОННЫЕ ИЗМЕНЕНИЯ ОДНОРОДНО ЗАРЯЖЕННЫХ ЦЕПЕЙ ПОЛИЭЛЕКТРОЛИТОВ НА ПОВЕРХНОСТИ ПОЛЯРИЗОВАННОЙ ЗОЛОТОЙ НАНОЧАСТИЦЫ: МОЛЕКУЛЯРНО-ДИНАМИЧЕСКОЕ МОДЕЛИРОВАНИЕ И ТЕОРИЯ ГАУССОВОЙ ПЕПИ В ПОЛЕ

© 2021 г. Н. Ю. Кручинин^{a,*}, М. Г. Кучеренко^{a, Π}, П. П. Неясов^{$a, \Pi = 0$}

^а Оренбургский государственный университет, Центр лазерной и информационной биофизики, Оренбург, Россия *e-mail: kruchinin 56@mail.ru

Поступила в редакцию 27.03.2020 г. После доработки 19.05.2020 г. Принята к публикации 26.05.2020 г.

Методом молекулярной динамики исследованы конформационные изменения однородно заряженных полипептидов, адсорбированных на поверхности поляризованной золотой наночастицы. Рассчитаны зависимости средних угловых распределений и радиальной плотности атомов полиэлектролита на поверхности наночастицы. На поверхности поляризованной золотой наночастицы наблюдалось постепенное смещение звеньев полиэлектролита в полушарие, заряженное противоположно знаку заряда звеньев, а также выраженное разрежение внешнего слоя адсорбированной цепи по сравнению с внутренним в этом полушарии наночастицы. Представлена аналитическая модель конформационных изменений полиэлектролита, основанная на уравнении динамики гауссовой цепи, в потенциальном поле поляризованной наночастицы. Согласно аналитической модели построены картина деформированной опушки полиэлектролита и радиально-угловые зависимости его плотности звеньев на поверхности поляризованной наночастицы.

Ключевые слова: поляризованная наночастица, полиэлектролит, электрически индуцированные конформационные изменения, молекулярная динамика, гауссова макромолекулярная цепь в поле наночастицы

DOI: 10.31857/S004445372102014X

Использование плазмонных наночастиц с адсорбированными на их поверхностях макромолекулярных цепей полиэлектролитов вызывает большой интерес в связи с задачами создания и улучшения характеристик разнообразных химических сенсоров, а также для использования в качестве нанозондов в биохимических, биофизических и биомедицинских исследованиях [1—5]. Часто для управления характеристиками подобных наносистем используется эффект изменения конформационной структуры адсорбированной полимерной цепи под воздействием электрического поля [6, 7].

Под воздействием электрического поля конформационная структура адсорбированной на твердой поверхности макроцепи, содержащей заряженные звенья, будет изменяться. В работах [8—11] исследовались электрически индуцированные конформационные изменения в целом нейтральных полиамфолитных полипептидов, адсорбированных на поверхностях заряженной

золотой подложки и наночастицы, а также поверхности поляризованной наночастицы. При этом наблюдались значительные изменения в конформационной структуре адсорбированного полиамфолита, в том числе связанного с молекулами красителей и атомарными кластерами.

Интерес вызывает исследование изменений в конформационной структуре однородно заряженного полиэлектролита на поверхности металлической, в частности — золотой наночастицы, которая может быть поляризована как в статическом электрическом поле, так и под воздействием электромагнитного излучения. Как известно, во внешнем электрическом поле на поверхности сферической наночастицы заряды распределяются с поверхностной плотностью пропорциональной косинусу угла между направлением вектора \mathbf{E} электрического поля и нормали к поверхности наночастицы $\sigma = 3E \cos\theta/(4\pi)$. В случае адсорбции на поверхности поляризованной наночастицы макромолекулы полиэлектролита, которая со-

держит заряженные звенья одного знака однородно распределенные по макроцепи, изменения его конформационной структуры будут значительно отличаться от случая в целом нейтральной полиамфолитной макромолекулы.

Такие гибридные наносистемы, состоящие из однородно заряженной макроцепи адсорбированной на поверхности металлической наночастицы, могут быть использованы в элементах различных устройств наноэлектроники, нанозондах и сенсорах с управляемыми электрическим полем параметрами, например, таких как сенсоры на основе эффекта гигантского комбинационного рассеяния (ГКР) или поверхностного плазмонного резонанса (ППР). Кроме того, они могут быть включены в состав чувствительного элемента люминесцентно-оптического измерителя концентрации молекулярного (в том числе — синглетного) кислорода [12, 13].

Поэтому целью данной работы является исследование индуцированных электрическим полем изменений конформационной структуры однородно заряженных полипептидов, адсорбированных на поверхности поляризованной золотой наночастицы.

ЭКСПЕРИМЕНТАЛЬНАЯ ЧАСТЬ

Детали компьютерного эксперимента

Молекулярно-динамическое (МД) моделирование заряженных полипептидов на поверхности поляризованной золотой наночастицы было произведено с использованием программного комплекса NAMD 2.13 [14]. Модель золотой наночастицы была получена путем вырезания шара радиусом 1.5 нм из кристалла золота.

Были рассмотрены четыре заряженных полипептида, состоящих из 400 аминокислотных остатков:

- 1) полипептид A380D20 (суммарный заряд макроцепи -20e), состоящий из 380 звеньев Ala с равномерно распределенными 20 звеньями Asp (D, заряд -1e) $(A_{10}DA_9)_{20}$;
- 2) полипептид A360D40 (суммарный заряд макроцепи -40e), состоящий из 360 звеньев Ala с равномерно распределенными 40 звеньями Asp (A₅DA₄)₄₀;
- 3) полипептид A320D80 (суммарный заряд макроцепи -80e), состоящий из 320 звеньев Ala с равномерно распределенными 80 звеньями Asp $(A_2DA_2)_{80}$;
- 4) полипептид A340D40R20 (суммарный заряд макроцепи -20e), состоящий из 340 звеньев Ala с равномерно распределенными 40 звеньями Asp и 20 звеньями Arg (R, заряд +1e) (A₅DA₄RA₄DA₄)₂₀.

Для полипептидов было использовано силовое поле CHARMM22 [15]. Нековалентные взаи-

модействия с золотой наночастицей описывалось потенциалом Леннард-Джонса, параметризованным в работе [16]. Потенциал Ван-дер-Ваальса обрезался на расстоянии 1.2 нм с помощью функции сглаживания между 1.0 и 1.2 нм. Электростатические взаимодействия рассчитывались непосредственно на расстоянии 1.2 нм, а на большем расстоянии использовался метод "частица-сетка" Эвальда (РМЕ) [17] с шагом сетки 0.11 нм. Вся наносистема была помещена в куб с ребрами 20 нм, заполненный молекулами воды ТІРЗР [18]. Локальное электрическое поле задавалось через изменение зарядов атомов на поверхности сферической наночастицы по закону косинуса, что отвечало ее однородной поляризации. Были получены следующие значения индуцированного дипольного момента наночастицы: $p_1 \approx 1.4, p_2 \approx$ ≈ 2.7, p_3 ≈ 5.5 и p_4 ≈ 10.9 кД. МД-моделирование производилось при постоянной температуре (термостат Берендсена) при 600 К с последующим снижением до 300 К. Длина временной траектории достигала 15 нс. Для контроля получения равновесных конформаций осуществлялось наблюдение за изменением среднеквадратичного расстояния между атомами полипептида в различных конформациях (RMSD).

На первом этапе были получены стартовые конформационные структуры рассмотренных заряженных полипептидов, которые полностью обволакивали золотую наночастицу. Для этого отрицательно заряженная макроцепь полипептида располагалась в виде неравновесного клубка рядом с положительно заряженной поверхностью золотой наночастицы (поверхностная плотность заряда $+3e/Hm^2$). Было рассмотрено по три разных стартовых клубка для каждого полипептида. По результатам МД-моделирования были получены по три конформационные структуры для каждого рассмотренного полипептида, полностью обволакивающих наночастицу. Впоследствии эти структуры были использованы в качестве стартовых конфигураций для МД-моделирования на поверхности нейтральной и поляризованной наночастицы.

По результатам МД-моделирования на конечном стационарном участке траектории по всем полученным конформациям на поверхности наночастицы рассчитывались радиальные распределения средней плотности атомов полипептида. Также были построены зависимости средних угловых распределений атомов полипептида с шагом в 10 градусов (отрицательно заряженному полюсу соответствует угол 180 градусов, экваториальной области — угол 90 градусов, а положительно заряженному полюсу — угол 0 градусов). При этом зависимости угловых распределений атомов адсорбированной макроцепи были нормированы на амплитудные значения атомной плотности в

экваториальной области, с учетом различий площади поверхности сферических поясов, ограниченных окружностями различного радиуса: $N(\theta_1,\theta_2) = n(\theta_1,\theta_2)S(80,90)/S(\theta_1,\theta_2)$, где S(80,90) – площадь сферического пояса, ограниченного углами 80 и 90 градусов, $N(\theta_1,\theta_2)$ — нормированное число атомов макроцепи в сферическом поясе, $n(\theta_1,\theta_2)$ — число атомов макроцепи в сферическом поясе, а $S(\theta_1,\theta_2)$ — площадь сферического пояса, ограниченном углами θ_1 и θ_2 .

Математическая модель перестройки конформаций гауссовой цепи, адсорбированной на поляризованной наночастице

При помещении сферической наночастицы в однородное электрическое поле шаровая симметрия системы утрачивается, а потенциал поля в окрестности поляризованной частицы получает зависимость от угловой переменной θ . Ранее, в ряде работ авторов [19-21] для сферически-симметричного случая было показано, что в случае физической — ван-дер-ваальсовой адсорбции адсорбционный потенциал стенок наночастиц может быть эффективно представлен комбинацией простейших модельных потенциалов $V_1(r) = V_{\infty}(R) - \alpha \delta(r - r_0)$ вида "твердая стенка-дельта-функциональная яма" (R — радиус наночастицы). Физически параметр r_0 может быть отождествлен с минимумом ван-дер-ваальсова потенциала, и разность $r_0 - R$ имеет тот же порядок величины: 0.3-0.4 нм.

Низкочастотное монохроматическое поле $E(t) = E_0 \exp(-i\omega t)$ поляризует наночастицу, и тогда к адсорбционному потенциалу $V_1(r)$ добавляется как потенциал $-eE_0r\cos\theta$ самого поля E, так и потенциал $V_p(r,\theta)$ поляризованной поверхности глобулы $V_2(r,\theta) = -eE_0r\cos\theta + V_p(r,\theta)$. В итоге получаем

$$V(\mathbf{r}) = V_1(r) + V_2(r,\theta) = V_{\infty}(R) - \alpha \delta(r - r_0) - eE_0 r \cos \theta + V_P(r,\theta),$$
(1)

где

$$V_{2}(r,\theta) = -eE_{0}r\cos\theta + \frac{\varepsilon_{1}(\omega) - \varepsilon_{2}}{\varepsilon_{1}(\omega) + 2\varepsilon_{2}}R^{3}eE_{0}\frac{\cos\theta}{r^{2}}.$$
(2)

Радиальная часть потенциала (1) может быть представлена двумя слагаемыми $V(r) = V_1(r) + V_2(r)$, одно из которых $V_2(r)$ включено в поле

$$V_{2}(r,\theta) = V_{2}(r)P_{1}(\cos\theta) =$$

$$= -eE_{0} \left[1 - \alpha'(\omega) \left(\frac{R}{r} \right)^{3} \right] rP_{1}(\cos\theta).$$
(3)

Поляризующее наночастицу поле E предполагается считать низкочастотным вплоть до значе-

ний ω существенно меньших характерных частот конформационных переходов фрагментов макроцепи ~ 1 нс⁻¹. Кроме того, для частиц размером $R \sim 1-10$ нм, такое поле можно рассматривать как квазистатическое.

Диэлектрические проницаемости $\varepsilon_1(\omega)$, ε_2 в поляризационном потенциале (2) характеризуют металл частицы и окружающую среду, соответственно. Равновесные конформации адсорбированной макроцепи в идеализированной модели, исключающей объемные взаимодействия звеньев, задаются конформационной функцией $\psi(\mathbf{r})$, определяющей плотность мономеров $n(\mathbf{r}) = \psi^2(\mathbf{r})$, и являющейся решением дифференциального уравнения, изоморфного уравнению шредингеровского типа [22]

$$\frac{a^2kT}{6}\nabla^2\psi(\mathbf{r}) = [V(\mathbf{r}) - \zeta]\psi(\mathbf{r}),\tag{4}$$

где a — размер звена цепи, kT — энергия теплового движения молекул. В случае слабого поля E учет потенциала (2) может быть произведен в рамках теории возмущений. Решение (4) может быть представлено в виде $\psi(\mathbf{r}) = F(r)P_l(\cos\theta)$, где $P_l(\cos\theta)$ — полином Лежандра порядка l.

Построим зависящие от угла θ функции $\psi(\mathbf{r})$ нулевого приближения, то есть решения уравнения (4) с потенциалом $V(r) = V_l(r)$, без поляризующего поля. Используя для радиальной функции $F_l(r)$ подстановку $F_l(r) = f_l(r)/\sqrt{r}$ для функции $f_l(r)$ получаем уравнение

$$f_{l}''(r) + \frac{1}{r}f_{l}'(r) - \left[\frac{(l+1)l+1/4}{r^{2}}\right]f_{l}(r) =$$

$$= \frac{6}{a^{2}kT}[V_{l}(r) - \zeta_{l}]f_{l}(r).$$
(5)

Решением (5) являются модифицированные функции Бесселя $I_{l+1/2}(q_lr)$ и $K_{l+1/2}(q_lr)$ с полуцелым индексом, и собственными значениями $q_l^2 = -\frac{6\zeta_l}{a^2kT}$. В качестве парциальных решений уравнения (5) с индексом l в поле $V(r) = V_1(r)$ можем записать следующие функции

$$\begin{cases} F_{l}^{I}(r) = A_{l} \left[\frac{I_{l+1/2}(q_{l}r)}{\sqrt{r}} - \frac{I_{l+1/2}(q_{l}R)}{K_{l+1/2}(q_{l}R)} \frac{K_{l+1/2}(q_{l}r)}{\sqrt{r}} \right], \\ R < r < r_{0}, \\ F_{l}^{II}(r) = A_{l} \left[\frac{I_{l+1/2}(q_{l}r_{0})}{K_{l+1/2}(q_{l}r_{0})} - \frac{I_{l+1/2}(q_{l}R)}{K_{l+1/2}(q_{l}R)} \right] \times \\ \times \frac{K_{l+1/2}(q_{l}r)}{\sqrt{r}}, \quad r_{0} < r < \infty, \end{cases}$$

$$(6)$$

а уравнение

$$\frac{d}{dr}F_{l}^{II}(r)\Big|_{r=r_{0}} - \frac{d}{dr}F_{l}^{I}(r)\Big|_{r=r_{0}} = -\frac{6\alpha}{a^{2}kT}F_{l}^{II}(r_{0}).$$
 (7)

позволяет определить единственный дискретный уровень спектра ζ_l , а вместе с ним и параметр q_l для каждого l. Подставляя (6) в (7) получаем общее трансцендентное уравнение для собственных значений q_l

$$\frac{a^{2}kT}{6\alpha r_{0}} = I_{l+1/2}(q_{l}r_{0})K_{l+1/2}(q_{l}r_{0}) - K_{l+1/2}^{2}(q_{l}r_{0}) \frac{I_{l+1/2}(q_{l}R)}{K_{l+1/2}(q_{l}R)}.$$
(8)

При I=0 приходим к сферически-симметричным решениям с функциями Бесселя $I_{1/2}(q_0r)$ и $K_{1/2}(q_0r)$. Поправки первого порядка к собственному значению ζ_0 , при учете возмущения $V_2(r,\theta)=-eE_0r\cos\theta+V_P(r,\theta)$ равны нулю для состояний $\psi_I^{(I=0)}(r)$, $\psi_{II}^{(I=0)}(r)$. Корректное использование теории возмущений Релея—Шредингера требует учета состояний $\psi_I^{(I=1)}(r,\theta)$, $\psi_{II}^{(I=1)}(r,\theta)$ для уточнения базисных состояний $\psi_I^{(I=0)}(r)$, $\psi_{II}^{(I=0)}(r)$.

Теория возмущений второго порядка по полю

Учитывая ортогональность полиномов Лежандра с различными индексами l и структуру угловой зависимости оператора возмущения $V_2(r,\theta) \sim \cos \theta$, замечаем, что вклад в поправки базисного состояния $\psi_{I,II}^{(l=0)}(r)$ будут вносить только функции $\psi_I^{(l=1)}(r,\theta)$, $\psi_{II}^{(l=1)}(r,\theta)$ с l=1. Исправленное базисное состояние $\psi_{I,II}^{(l=0)}(r)$ во втором порядке по малому параметру $\eta = eE_0a/\left|\zeta_1 - \zeta_0\right|$ может быть записано в виде

$$\begin{cases} \psi_{I}(r,\theta) = \psi_{I}^{(l=0)}(r) + \frac{\left\langle \psi_{I}^{(l=0)} \middle| V_{2} \middle| \psi_{I}^{(l=1)} \right\rangle}{\zeta_{1}^{(0)} - \zeta_{0}^{(0)}} \times \\ \times \psi_{I}^{(l=1)}(r,\theta) - \frac{1}{2} C_{I}^{(2)} \psi_{I}^{(l=0)}(r), \quad R < r < r_{0} \end{cases} \\ \psi_{II}(r,\theta) = \psi_{II}^{(l=0)}(r) + \frac{\left\langle \psi_{II}^{(l=0)} \middle| V_{2} \middle| \psi_{II}^{(l=1)} \right\rangle}{\zeta_{1}^{(0)} - \zeta_{0}^{(0)}} \times \\ \times \psi_{II}^{(l=1)}(r,\theta) - \frac{1}{2} C_{II}^{(2)} \psi_{II}^{(l=0)}(r), \quad r_{0} < r < \infty. \end{cases}$$

$$(9)$$

Поправки второго порядка с коэффициентами $C_{I,II}^{(2)}$ в (12) не привносят ожидаемую угловую зависимость в базисное состояние и поэтому они могут быть опущены. Однако радиально-угловое распределение плотности звеньев макроцепи как квадратичная форма от (9) содержит члены второго порядка малости по параметру η .

Выражения для радиально-углового распределения плотности звеньев адсорбированной макроцепи, с учетом указанных упрощений, могут быть записаны в виде

$$n_I(r,\theta) = n_I^{(l=0)}(r) + n_I^{(1)}(r)\cos\theta + + n_I^{(2)}(r)\cos^2\theta, \quad R < r < r_0,$$
(10)

$$n_{II}(r,\theta) = n_{II}^{(l=0)}(r) + n_{II}^{(1)}(r)\cos\theta + + n_{II}^{(2)}(r)\cos^2\theta, \quad r_0 < r < \infty,$$
(11)

гле

$$n_{I,II}^{(1)}(r) = 2 \frac{\left\langle \psi_{I,II}^{(l=0)} \middle| V_{2} \middle| \psi_{I,II}^{(l=1)} \right\rangle}{\zeta_{1}^{(0)} - \zeta_{0}^{(0)}} F_{0}^{I,II}(r) F_{1}^{I,II}(r),$$

$$n_{I,II}^{(2)}(r) = \frac{\left| \left\langle \psi_{I}^{(l=0)} \middle| V_{2} \middle| \psi_{I}^{(l=1)} \right\rangle \right|^{2}}{\left| \zeta_{1}^{(0)} - \zeta_{0}^{(0)} \right|^{2}} \left| F_{1}^{I,II}(r) \right|^{2}.$$
(12)

Собственные значения ζ_1 находим из уравнения $\zeta_l = -q_l^2 a^2 k T/6$, а коэффициенты $\left\langle \psi_{I,II}^{(l=0)} \middle| V_2 \middle| \psi_{I,II}^{(l=1)} \right\rangle$ представляют собой следующие интегралы

$$\langle \psi_{I,II}^{(I=0)} | V_2 | \psi_{I,II}^{(I=1)} \rangle =$$

$$= \begin{cases} \int_{R}^{r_0} F_0^{I}(r) V_2(r) F_1^{I}(r) r^2 dr, & I: R < r < r_0, \\ \int_{R}^{\infty} F_0^{II}(r) V_2(r) F_1^{II}(r) r^2 dr, & II: r_0 < r < \infty, \end{cases}$$

$$(13)$$

где радиальные функции $F_{l=0;1}^{I,II}(r)$ определены выражениями (6).

ОБСУЖДЕНИЕ РЕЗУЛЬТАТОВ

МД-моделирование однородно заряженных полипептидов на поверхности поляризованной золотой наночастицы

По результатам МД-моделирования по мере увеличения дипольного момента наночастицы происходила такая перестройка конформационной структуры адсорбированного отрицательно заряженного полипептида, при которой макромолекулярная опушка смещалась в положительно заряженное полушарие поляризованной наночастицы (рис. 1) (на рис. 1б и в вектор дипольного момента наночастицы направлен вверх, нижнее полушарие заряжено отрицательно, а верхнее положительно). Такие конформационные изменения значительно отличаются от случая в целом нейтральной полиамфолитной макромолекулы [9, 10], когда наблюдалось вытягивание макромолекулярной опушки в направлении оси поляризации в равной степени на разных полюсах поляризованной наночастицы.

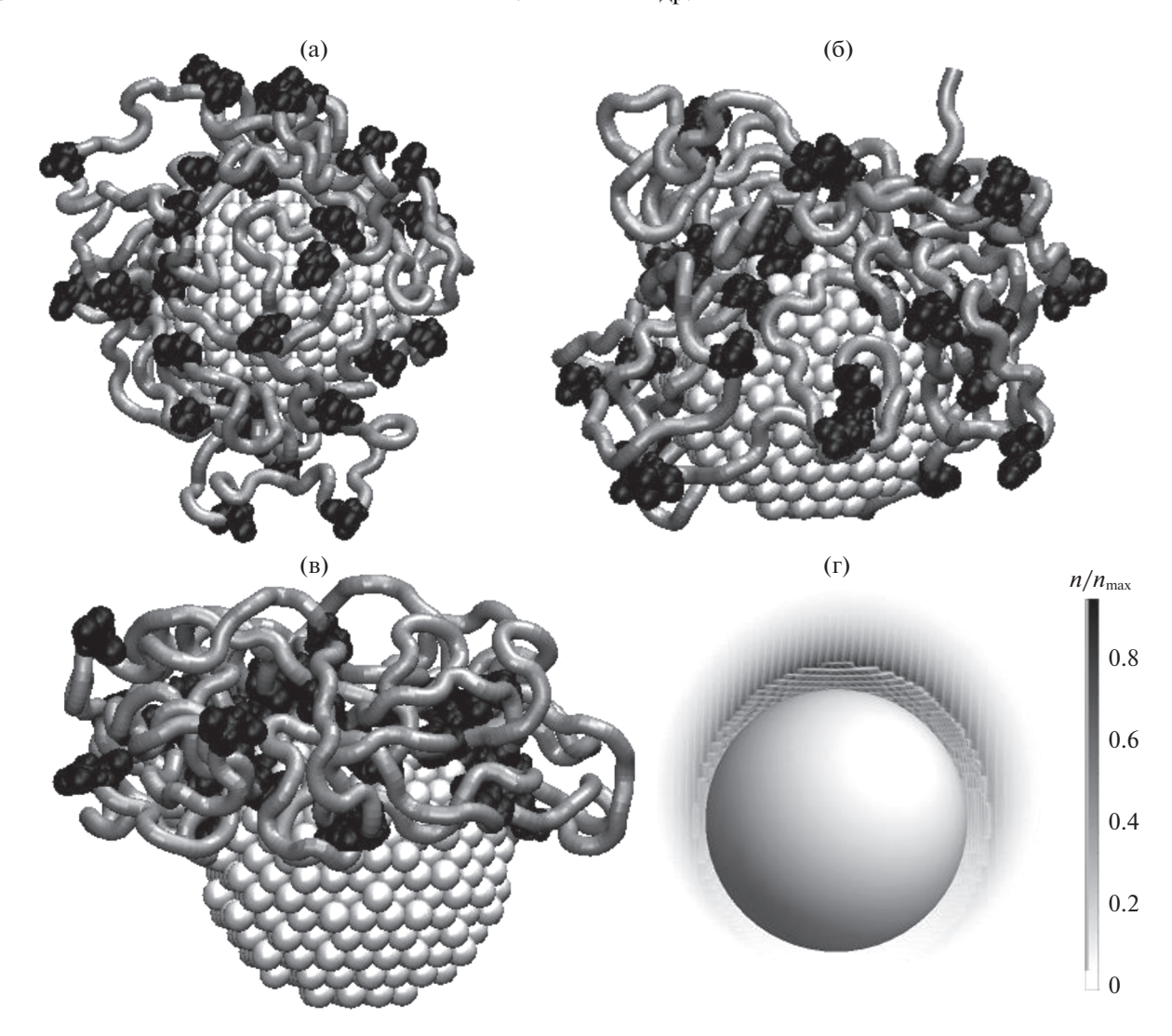


Рис. 1. Конформации полипептида A360D40 на поверхности неполяризованной золотой наночастицы (а), поляризованной с дипольным моментом: б) p_2 , в) p_4 (светло-серая трубка — звенья Ala, черным цветом изображены звенья Asp) и 3d-сферическая диаграмма (г) плотности звеньев модельной полиэлектролитной опушки на поверхности наночастицы в поляризующем внешнем поле $E_0 = 10$ мВ/нм. Картина плотности (г) получена в результате расчетов в рамках аналитической модели (10)—(12).

На рис. 1а изображена конформационная структура полипептида A360D40, полученная по окончанию МД-моделирования на неполяризованной наночастице золота, а на рис. 1б и в на поверхности наночастицы, поляризованной с дипольным моментом p_2 и p_4 соответственно. Видно, что на неполяризованной наночастице полипептид А360D40 полностью ее обволакивает с выталкиванием петель макроцепи в раствор. На рис. 2а изображены радиальные зависимости средней плотности атомов полипептида A360D40 на неполяризованной наночастице. Кривые данных радиальных зависимостей имеют характерный пик около поверхности наночастицы [8] и совпадают в обоих полушариях. На рис. За изображены средние угловые распределения атомов полипептида A360D40: на поверхности неполяризованной наночастицы наблюдается в целом равномерное распределение концентрации атомов во всех областях с незначительными флуктуациями.

По мере увеличения дипольного момента наночастицы (рис. 16 и 1в) все большая часть звеньев полипептида A360D40 смещалась в положительно заряженное полушарие. Это хорошо видно на графиках угловых распределений атомов макроцепи (рис. 3а). При значении дипольного момента наночастицы равном p_1 лишь небольшое число аминокислотных остатков полипептида сместилось в положительно заряженное полушарие наночастицы, при p_2 на отрицательно заряженном полюсе наночастицы звенья макроцепи

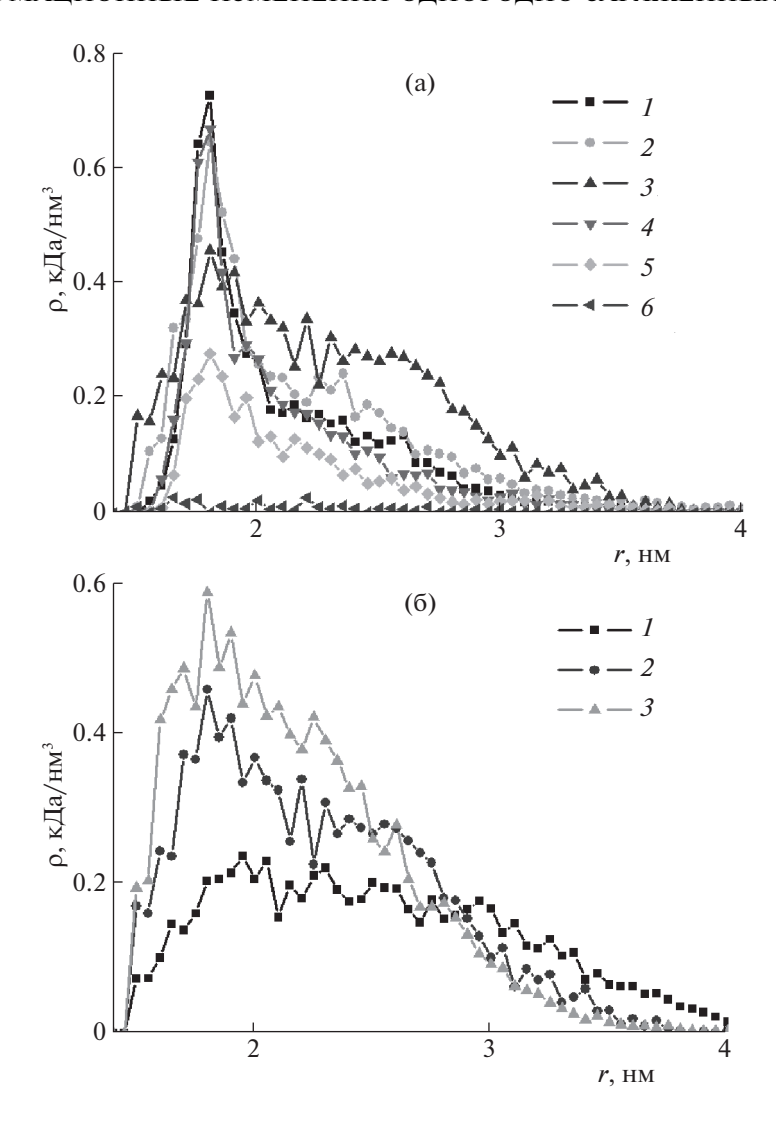


Рис. 2. Радиальные зависимости средней плотности атомов полипептида A360D40 (а) на поверхностях положительно (1-3) и отрицательно (4-6) заряженных полушариях поляризованной наночастицы при значениях дипольного момента: 0 (1, 4), p_2 (2, 5) и p_4 (3, 6). Радиальные зависимости средней плотности атомов полипептидов A380D20 (б, I), A360D40 (б, I) и A320D80 (б, I) на поверхности положительно заряженного полушария наночастицы при I_{1.00}.

отсутствуют (рис. 16), а при p_3 и p_4 практически все аминокислотные остатки находятся в положительно заряженной области, за исключением небольшого количества в слабо заряженной экваториальной области (рис. 1в).

Кривые радиальных зависимостей средней атомарной плотности полипептида A360D40 на поверхности поляризованной наночастицы значительно изменились по сравнению со случаем неполяризованной наночастицы (рис. 2а, кривые I и 4). Видно, что для наночастицы с дипольным моментом p_2 (кривые 2 и 5) пик кривой распределения средней плотности атомов макроцепи в положительно заряженном полушарии более чем в два раза выше пика кривой радиального распределения в отрицательно заряженном полушарии. Также по сравнению со случаем неполяризован-

ной наночастицы произошло снижение пиков радиального распределения средней плотности атомов полипептида, расположенных как в положительно, так и в отрицательно заряженном полушарии наночастицы. Снижение в отрицательно заряженном полушарии связано со смещением части аминокислотных остатков в положительно заряженное полушарие наночастицы. Однако, при смещении части звеньев в положительно заряженное полушарие (рис. 16) видно, что концентрация там также незначительно снизилась (рис. 2а, кривая 2).

При значении дипольного момента наночастицы p_4 произошло еще большее изменение радиальных зависимостей средней плотности атомов полипептида A360D40 (рис. 2a, кривые 3 и 6). Пик радиального распределения средней плотно-

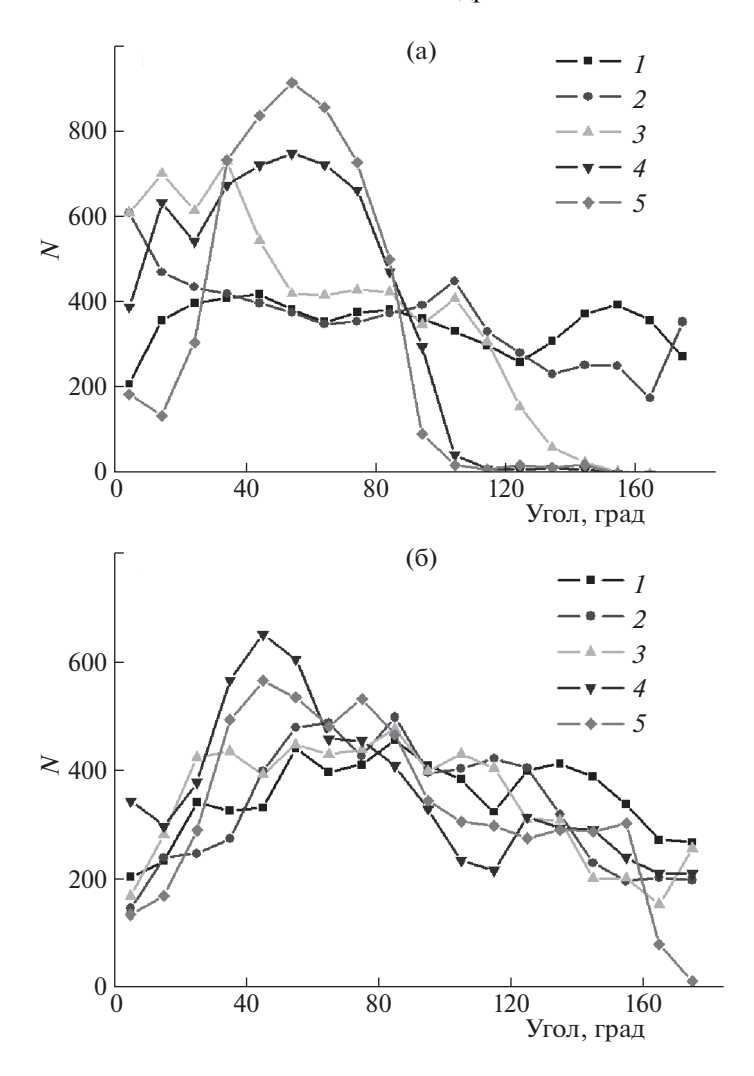


Рис. 3. Средние угловые распределения атомов полипептида на поверхности поляризованной наночастицы нормированные на экваториальную область для полипептидов: а) A360D40, б) A340D40R20. На рисунке цифрами обозначены значения дипольного момента наночастицы: 1 - 0, $2 - p_1$, $3 - p_2$, $4 - p_3$, $5 - p_4$.

сти атомов полипептида в положительно заряженном полушарии наночастицы еще больше снизился, а профиль этого распределения уширился. При этом плотность атомов полипептида в отрицательно заряженном полушарии имеет околонулевые значения. Это соответствует почти полному смещению звеньев в положительно заряженное полушарие (рис. 1в и 3а).

Такое снижение плотности атомов полипептида в положительно заряженном полушарии поляризованной наночастицы связано с тем, что при увеличении количества аминокислотных остатков в этом полушарии (рис. 3а) происходит набухание макромолекулярной опушки вследствие объемных взаимодействий между звеньями макроцепи в растворе и уменьшении ван-дервальсовых взаимодействий с поверхностью наночастицы при уменьшении площади контакта.

Схожие конформационные структуры были получены и для полипептидов A380D20 и A320D80. При этом для полипептида A320D80 с наибольшим количеством отрицательно заряженных аминокислотных остатков Asp большая часть звеньев сместилась в положительное полушарие наночастицы уже при значении дипольного момента равного p_2 , а для полипептида A380D20 такое смещение происходило при p_3 .

Для полипептида A380D20 наблюдалось схожее с полипептидом A360D40 набухание макромолекулярной опушки в полярной области по мере увеличения дипольного момента наночастицы. Но при этом опушка у полипептида A380D20 была более рыхлой, а пик кривой радиального распределения при $p_{1.00}$ был примерно в два раза ниже (рис. 26, кривая I), чем у полипептида A360D40 (рис. 26, кривая I). У полипептида A320D80 с наибольшим количеством отрицатель-

но заряженных аминокислотных остатков Asp напротив пик кривой радиального распределения при p_4 был примерно на четверть выше (рис. 26, кривая 3), чем у полипептида A360D40. Это согласуется с тем, что при увеличении концентрации заряженных звеньев Asp в макроцепи сила притяжения макроцепи к положительному полюсу наночастицы возрастает.

Такой механизм набухания макромолекулярной опушки однородно заряженного полиэлектролита на поверхности поляризованной наночастицы отличается от случая набухания макромолекулярной опушки в целом нейтрального полиамфолита [9, 10] в полярных областях наночастицы, которое было связано со смещением от поверхности одноименно заряженных звеньев по отношению к полюсу наночастицы.

Также был рассмотрен случай, когда макромолекула в целом имела отрицательный суммарный заряд, но при этом содержала также и равномерно распределенные положительно заряженные звенья Arg. В отличие от рассмотренных выше полипептидов часть звеньев полипептида A340D40R20 находилась в области отрицательно заряженного полюса поляризованной наночастицы. Это связано с адсорбцией звеньев Arg в данной области наночастицы. При этом большая часть звеньев полипептида A340D40R20 находится в положительно заряженном полушарии. На рис. 3б изображены средние угловые распределения атомов полипептида A340D40R20 на поверхности поляризованной наночастицы. При увеличении дипольного момента наночастицы все большее количество звеньев полипептида A340D40R20 смещается в положительно заряженное полушарие наночастицы, но при этом в отличие от первых трех рассмотренных полипептидов в отрицательно заряженном полушарии остается часть аминокислотных остатков даже при максимальных рассмотренных значениях дипольного момента наночастицы (рис. 3б).

Расчеты на основе конформационной модели адсорбированной гауссовой цепи

В результате расчетов плотности звеньев адсорбированной гауссовой макроцепи на основе выражений (10), (11) аналитической модели была получена картина деформированной опушки (рис. 1г), переконфигурированной внешним полем и полем поляризованной наночастицы, качественно согласующаяся со структурами МД-моделирования (рис. 16, 1в). На рис. 4 представлены изменения радиально-углового распределения плотности звеньев однородно заряженной макроцепи полиэлектролита (с положительным знаком заряда сегментов) в диаметральном сечении наночастицы при увеличении амплитуды локального поля

$$\frac{\varepsilon_1(\omega) - \varepsilon_2}{\varepsilon_1(\omega) + 2\varepsilon_2} E_0$$

от 1 до 10 мВ/нм. Отчетливо проявляется асимметричное вытягивание опушки в направлении вектора дипольного момента наночастицы. Значения параметров для расчетов на базе выражений (10), (11): e' = 0.5e (заряд звена цепи); a = 0.5, $R=1.5, r_0=1.8$ нм; $\varepsilon_2=4$; $A_0=A_1=1$; $\alpha=0.005$ эВ нм; $k=8.62\times 10^{-5}$ эВ/K; T=300 K; $E_0=10$ мВ/нм; $q_0R = 1.757$; $q_1R = 1.419$. Как и в случае МД-моделирования "южный" полюс наночастицы оказался практически оголенным за счет смещения звеньев в полусферу с противоположным знаком заряда. С увеличением напряженности поля имеет место увеличение толщины опушки и плотности числа звеньев на полюсе, с зарядом противоположным знаку заряда звеньев, и их уменьшение на другом полюсе. При изменении частоты поля в диапазоне от 1 МГц до 1 ГГц фактор Лоренца для шара

$$\frac{\varepsilon_1(\omega) - \varepsilon_2}{\varepsilon_1(\omega) + 2\varepsilon_2}$$

близок к единице, поэтому амплитуда локального поля на полюсах частицы практически совпадает с напряженностью E_0 внешнего поля. Однако в области экваториальных углов $\theta \sim \pi/2$ поле диполя заметно изменяется, что находит отражение на кривых радиальных зависимостей плотности звеньев цепи (рис. 5), рассчитанных для различных углов θ с шагом в 30 градусов на поверхности золотой наночастицы в поляризующем внешнем поле с амплитудой напряженности $E_0 = 10 \text{ мB/нм}$. Нормировка радиального распределения плотности звеньев на рис. 5 произведена на максимальное значение плотности, как для рис. 1г и 4. Видно, что при изменении угла θ от полюса, с зарядом противоположным знаку заряда звеньев, к противоположному, максимумы радиальных распределений концентраций звеньев полиэлектролита на поверхности поляризованной частицы значительно снижаются.

Вместе с тем, необходимо указать и на некоторое отличие в изменении плотности звеньев полиэлектролита в притягивающем полушарии, полученное на основе аналитической модели, от изменений плотности атомов полипептида, полученных методом молекулярной динамики. Оно связано с тем, что в модели идеальной гауссовой цепи не учитываются объемные взаимодействия между звеньями полиэлектролита, тогда как формат МД-расчетов принимает их во внимание.

Таким образом, под воздействием электрического поля поляризованной золотой наночастицы конформационная структура адсорбированного однородно заряженного полиэлектролита значительно изменяется. Она существенно отли-

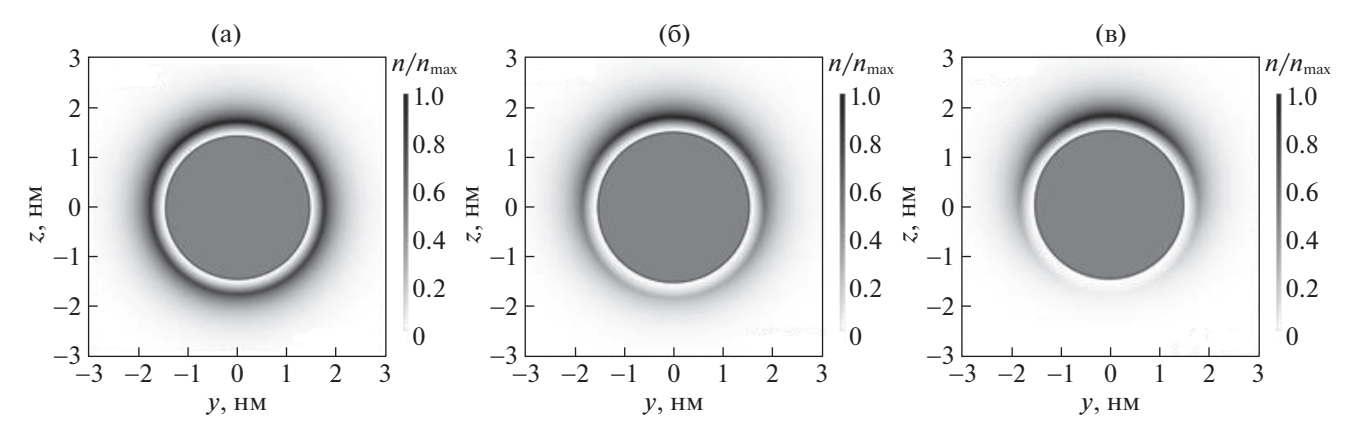


Рис. 4. Асимметричное перераспределение плотности звеньев опушечного слоя на поверхности поляризованной золотой наночастицы при различных значениях напряженности локального электрического поля $\frac{\varepsilon_1(\omega)-\varepsilon_2}{\varepsilon_1(\omega)+2\varepsilon_2}E_0$: a-1, 6-5, B-10 мВ/нм.

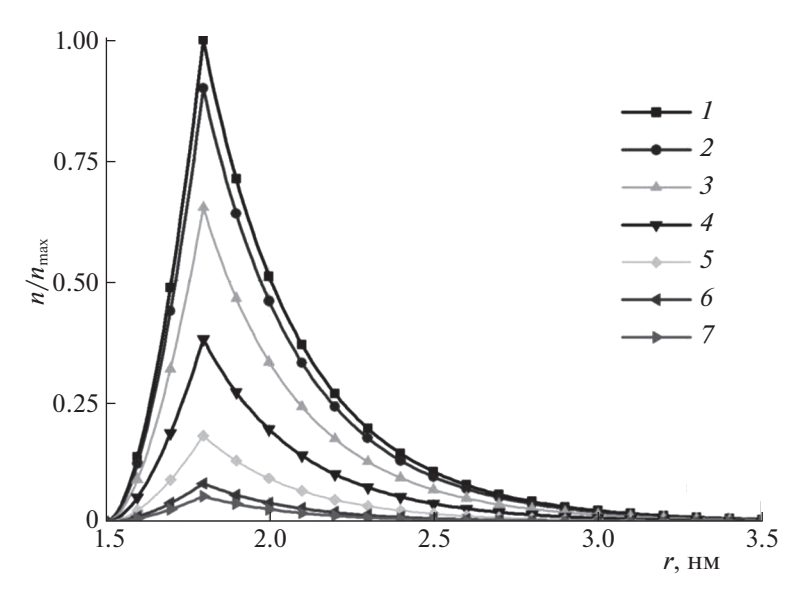


Рис. 5. Радиальные зависимости плотности звеньев полиэлектролита на поверхности поляризованной золотой наночастицы. Цифрами (1—7) обозначены кривые радиальных зависимостей плотности с шагом по углу в 30 градусов, начиная от верхнего полюса (1) к нижнему (7).

чается как от случая полиэлектролита, адсорбированного на неполяризованной наночастице, так и от случая адсорбции в целом нейтральных полиамфолитных полипептидов на поверхности поляризованной наночастицы [9, 10].

По мере увеличения степени поляризации наночастицы происходит постепенное смещение аминокислотных остатков однородно заряженного полипептида в заряженное с противоположным знаком по отношению к полипептиду полушарие поляризованной наночастицы. При этом в притягивающем полушарии наночастицы происходит постепенное набухание макромолекулярной опушки, которое сильнее выражено для полиэлектролитов с меньшей концентрацией одно-именно заряженных звеньев в макроцепи.

В результате проведенного МД-моделирования однородно заряженного полиэлектролита и моделирования перестройки структуры опушечного слоя адсорбированной макроцепи на основе дифференциального уравнения динамики гауссовой цепи в потенциальном поле получены взаимно согласующиеся результаты. В поле однородно поляризованной наночастицы имеет место асимметричная деформация макроцепной опушки с концентрированием плотности заряженных звеньев цепи на одном полюсе, с зарядом противоположным знаку заряда звеньев, и с разрежением плотности — на другом.

Такие электрически индуцированные изменения конформационной структуры однородно заряженных полиэлектролитов на поверхности поляризованной золотой наночастицы будут оказывать существенное влияние на фотохимические процессы, протекающие в слое макромолекулярной опушки. Это может быть использовано в базовых элементах устройств наноэлектроники, нанозондах и сенсорах с управляемыми параметрами как под воздействием статического электрического поля, так и электромагнитного излучения различной частоты.

Исследование выполнено при финансовой поддержке Российского фонда фундаментальных исследований и Оренбургской области в рамках научного проекта № 19-43-560003, а также при финансовой поддержке Министерства науки и высшего образования Российской Федерации в рамках научного проекта № FSGU-2020-0003.

СПИСОК ЛИТЕРАТУРЫ

- Zhang P., Chiu Y., Tostanoski L.H., Jewell C.M. // ACS Nano. 2015. V. 9. P. 6465. https://doi.org/10.1021/acsnano.5b02153
- Zhang H., Nayak S., Wang W. et al. // Langmuir. 2017.
 V. 33. P. 12227. https://doi.org/10.1021/acs.langmuir.7b02359
- 3. *Fuller M.A., Köper I.* // Nano Convergence. 2019. V. 6. № 11. https://doi.org/10.1186/s40580-019-0183-4
- Qiu T.A., Torelli M.D., Vartanian A.M. et al. // Anal. Chem. 2017. V. 89. P. 1823. https://doi.org/10.1021/acs.analchem.6b04161
- Angelatos A.S., Radt B., Caruso F. // J. Phys. Chem. B. 2005. V. 109. P. 3071. https://doi.org/10.1021/jp045070x
- Chen Y., Cruz-Chu E.R., Woodard J. et al. // ACS Nano. 2012. V. 6. P. 8847. https://doi.org/10.1021/nn3027408

- Cantini E., Wang X., Koelsch P. et al. // Acc. Chem. Res. 2016. V. 49. P. 1223. https://doi.org/10.1021/acs.accounts.6b00132
- 8. *Kruchinin N.Yu.*, *Kucherenko M.G.* // Colloid Journal. 2019. V. 81. № 2. P. 110. https://doi.org/10.1134/S1061933X19020078
- 9. *Kruchinin N.Yu.*, *Kucherenko M.G.* // Colloid Journal. 2020. V. 82. № 2. P. 136.
- 10. *Кручинин Н.Ю., Кучеренко М.Г.* // Биофизика. 2020. Т. 65. № 2. С. 219.
- 11. *Кручинин Н.Ю., Кучеренко М.Г.* // Журн. физ. химии. 2020. Т. 94. № 7. С. 1066.
- 12. *Kucherenko M.G., Rusinov A.P., Chmereva T.M. et al.* // Optics and Spectroscopy. 2009. V. 107. № 3. P. 480. https://doi.org/10.1134/S0030400X0909029X
- 13. *Kucherenko M.G., Izmodenova S.V., Kruchinin N.Yu., Chmereva T.M.* // High Energy Chemistry. 2009. V. 43. № 7. P. 592. https://doi.org/10.1134/S0018143909070169
- 14. *Phillips J.C., Braun R., Wang W. et al.* // J. of Computational Chemistry. 2005. V. 26. P. 1781. https://doi.org/10.1002/jcc.20289
- MacKerell A.D., Bashford D., Bellott M. et al. // J. of Phys. Chem. B. 1998. V. 102. P. 3586. https://doi.org/10.1021/jp973084f
- Heinz H., Vaia R.A., Farmer B.L., Naik R.R. // J. Phys. Chem. C. 2008. V. 112. P. 17281. https://doi.org/10.1021/jp801931d
- Darden T., York D., Pedersen L. // J. Chem. Phys. 1993.
 V. 98. P. 10089. https://doi.org/10.1063/1.464397
- Jorgensen W.L., Chandrasekhar J., Madura J.D. et al. // J. Chem. Phys. 1983. V. 79. P. 926. https://doi.org/10.1063/1.445869
- 19. *Кучеренко М.Г., Чмерева Т.М.* // Вестн. ОГУ. 2008. № 9. С. 177.
- 20. Кучеренко М.Г., Кручинин Н.Ю., Чмерева Т.М. // Там же. 2010. № 5. С. 124.
- 21. *Кучеренко М.Г., Измоденова С.В., Чмерева Т.М. и др.* // Там же. 2013. № 9. С. 100.
- 22. Гросберг А.Ю., Хохлов А.Р. Статистическая физика макромолекул. М.: Наука, 1989.